

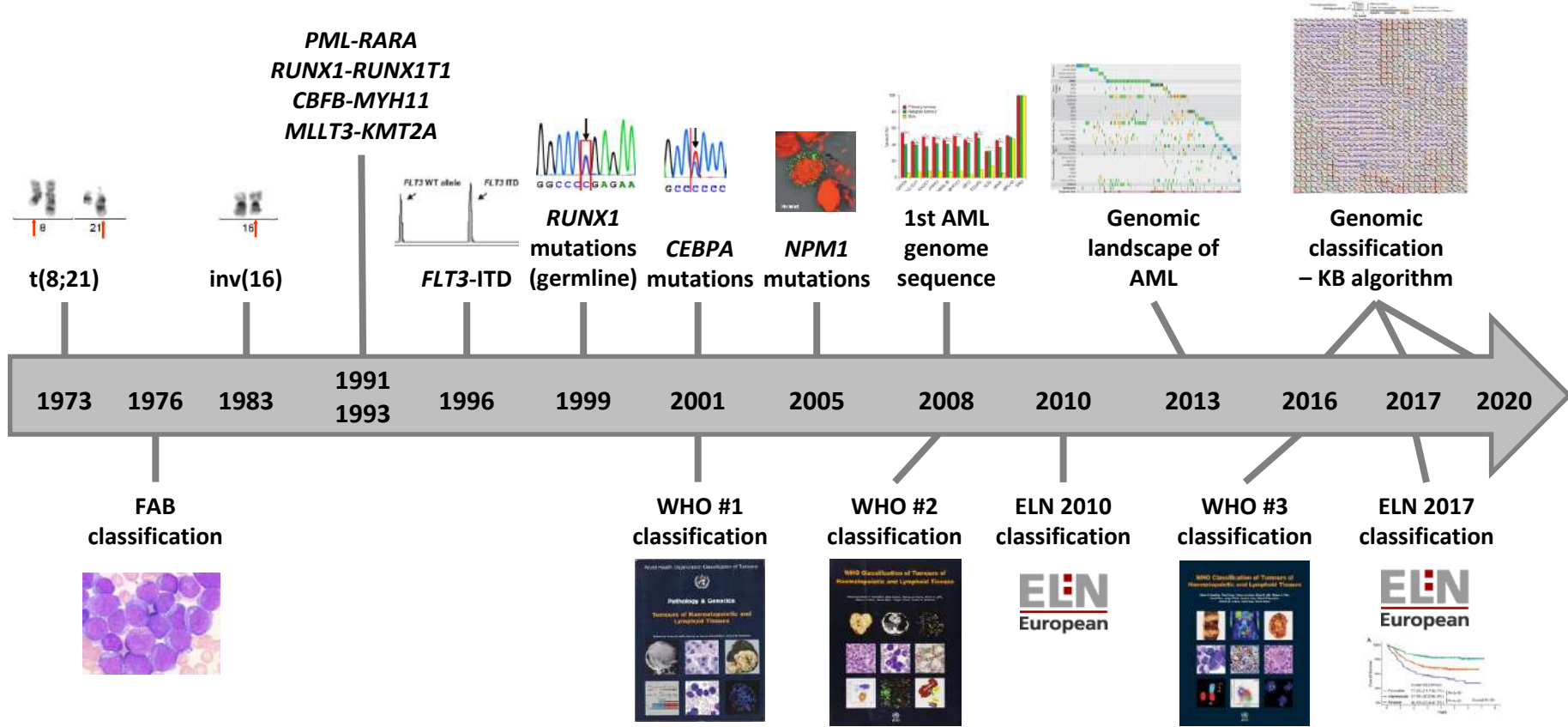
# Physiopathologie et classifications moléculaires des LAM

---

Nicolas Duployez

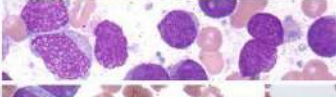
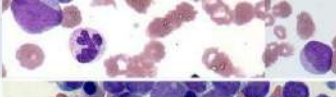
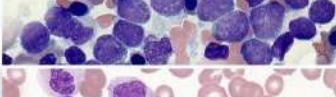
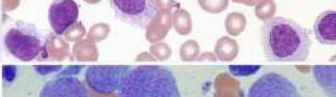
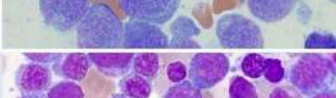
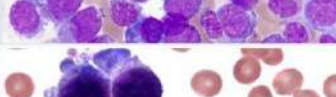
CHU Lille, Laboratoire d'Hématologie  
Biologie moléculaire des hémopathies

# 45 ans de classifications des LAM



# I – Classification cytologique des LAM

## FAB CLASSIFICATION SYSTEM OF ACUTE MYELOID LEUKAEMIA

<b>M0</b>	AML with minimal differentiation	
<b>M1</b>	AML without maturation	
<b>M2</b>	AML with maturation	
<b>M3</b>	Acute promyelocytic leukaemia	
<b>M4</b>	Acute myelomonocytic leukaemia	
<b>M5</b>	Acute monoblastic and monocytic leukaemia	
<b>M6</b>	Pure erythroid leukaemia	
<b>M7</b>	Acute megakaryoblastic leukemia	

WWW.BLOOD-ACADEMY.COM

*British Journal of Haematology*, 1976, 33, 451.

## Proposals for the Classification of the Acute Leukaemias

FRENCH-AMERICAN-BRITISH (FAB) CO-OPERATIVE GROUP

J. M. BENNETT,\* D. CATOVSKY,† MARIE-THERÈSE DANIEL,‡ G. FLANDRIN,‡  
D. A. G. GALTON,† H. R. GRALNICK§ AND C. SULTAN¶

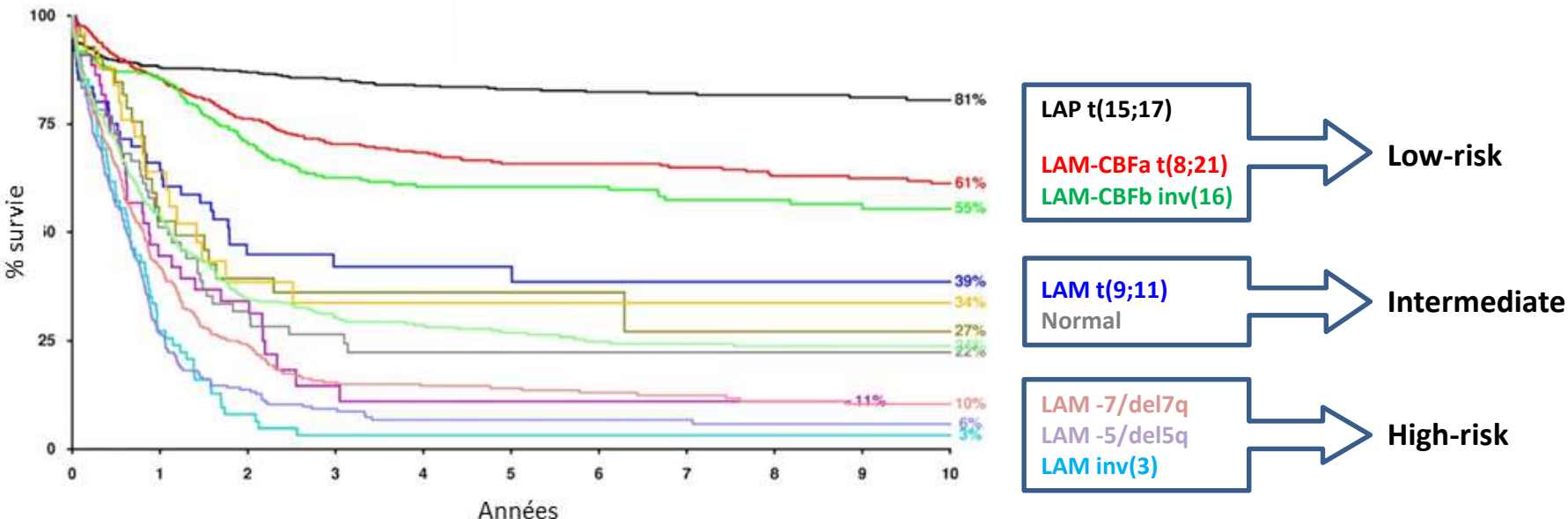
1976 (M1 à M6), 1985 (M7), 1987 (M0)

Chromosomal translocations	FAB classification	Relative prognosis
t(8;21)(q22;q22)	M2	fair to good
t(15;17)(q22;q21)	M3	fair to good
inv(16)(p13;q22)/t(16;16)(p13;q22)	M4eo	good
t(9;11)(p21;q23)	M5	poor
t(11q23)	M4–M5	poor
t(6;9)(p23;q34)	M2, M4	poor
t(8;16)(p11;p13)	M5	undetermined
inv(3)(q21;q26)/t(3;33)	M4	undetermined
t(1;3)(p36;q21)		
t(1;22)(p13;q13)	M7	undetermined

Segeren CM, van 't Veer MB. Neth J Med. 1996;49(3):126–131.

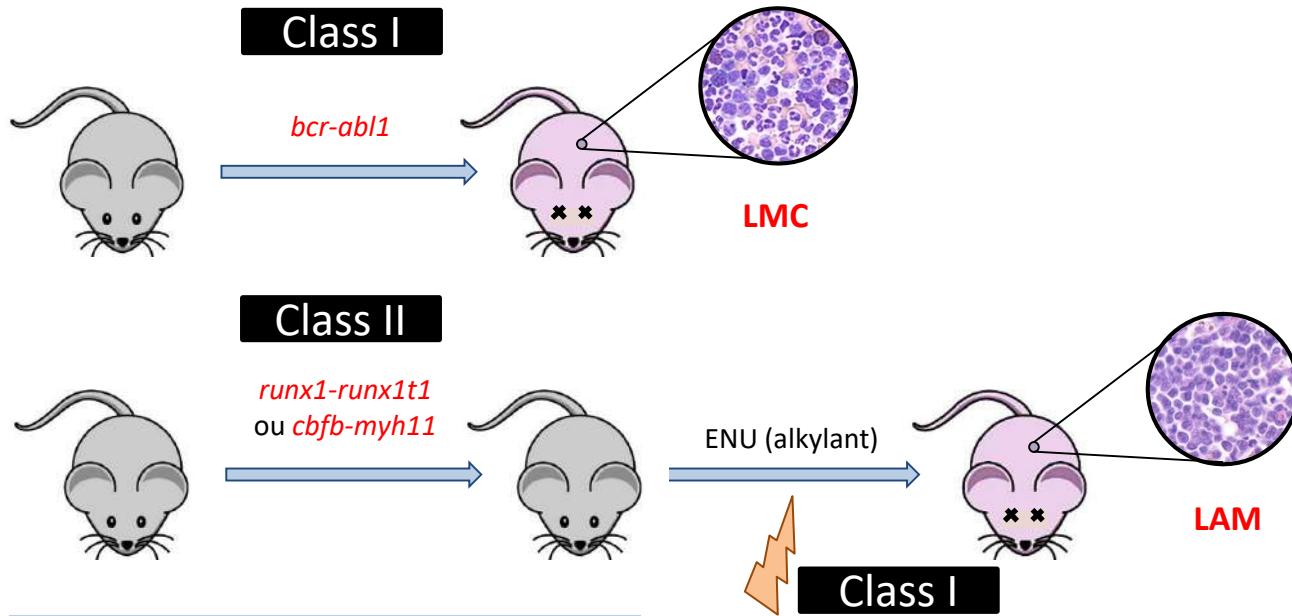
## II – Classification cytogénétique des LAM

Rowley J D. Identification of a translocation with quinacrine fluorescence in a patient with acute leukemia. *Ann. Génét.* Paris 16:109-12, 1973.  
[Department of Medicine, Pritzker School of Medicine, University of Chicago, and Argonne Cancer Research Hospital, Chicago, IL]



Grimwade D, et al. (UK MRC) Blood. 2010;116(3):354–365.

# Physiopathologie des LAM : multistep model



**Chez l'Homme :**

- Persistance en RC prolongée
- Détection chez des nouveau-nés sains



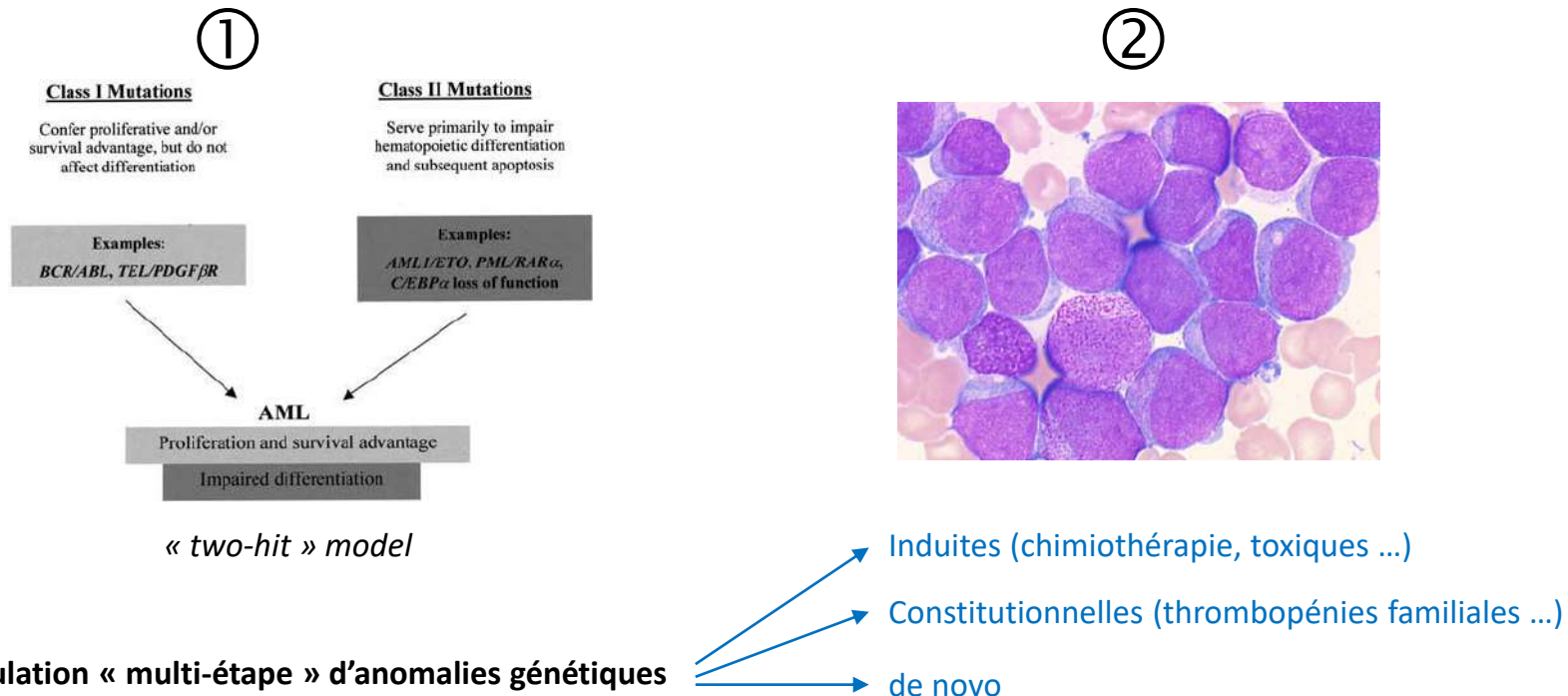
Miyamoto T, et al. Blood. 1996;87(11):4789–4796.

Wiemels JL, et al. Blood. 2002;99(10):3801–3805.

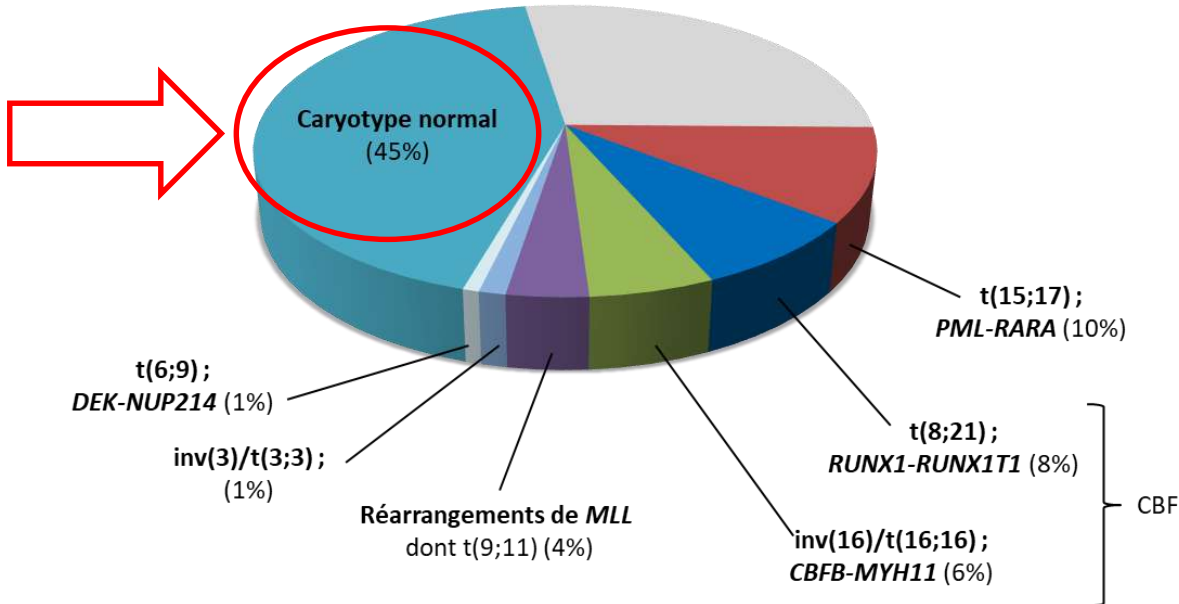
Downing JR. Current Opinion in Genetics & Development. 2003;13(1):48–54.

# Physiopathologie des LAM : multistep model

LAM = Prolifération clonale incontrôlée de cellules hématopoïétiques bloquées dans leur différenciation (blastes)

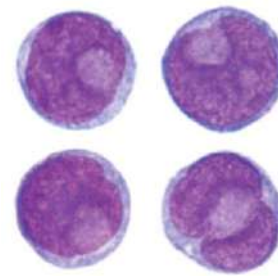


### III – Vers une classification moléculaire des LAM

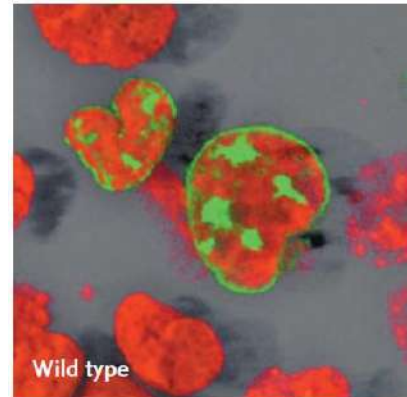
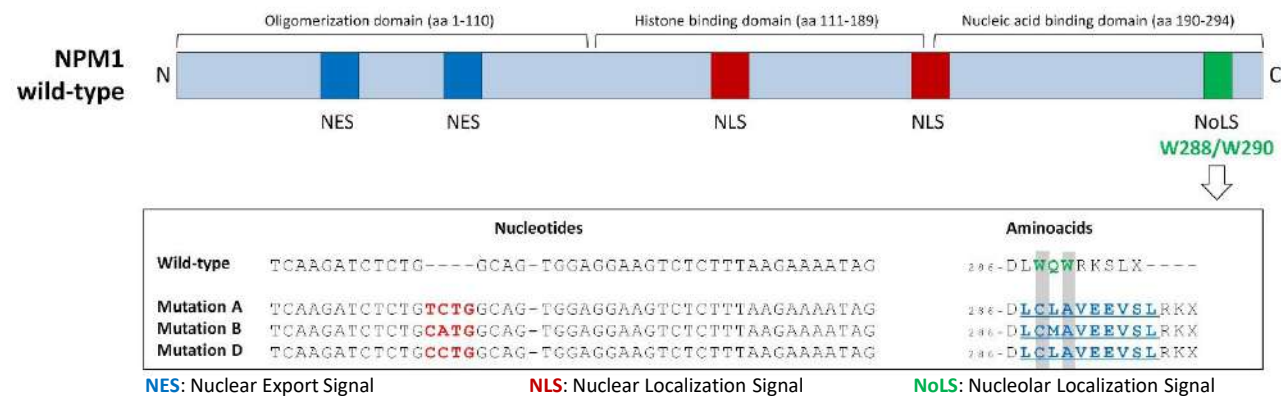


## a) Mutations de NPM1

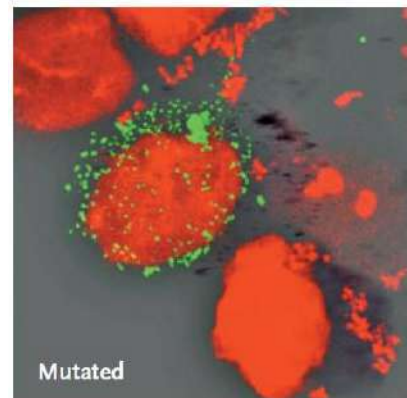
- Nucléophosmine
- ~ 30% des LAM de novo
  - Délocalisation cytoplasmique de NPM1
  - M1, M2, M4, M5, morphologie « cup-like »
  - Caryotype normal, CD34-, souvent *FLT3-ITD*
  - Bonne réponse à la chimiothérapie
    - Modulé par *FLT3-ITD*



Jost E, et al. AJH. 2015;90(9):847–848.



Wild type

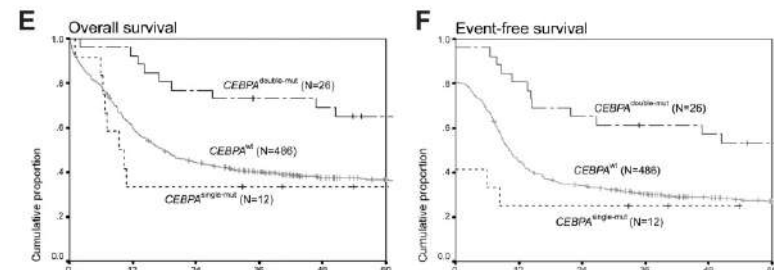
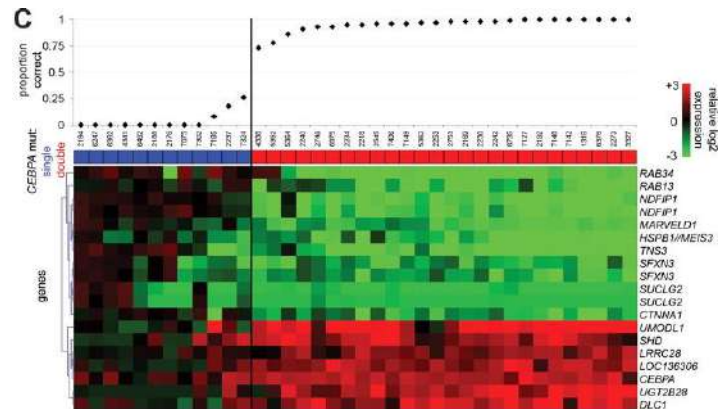
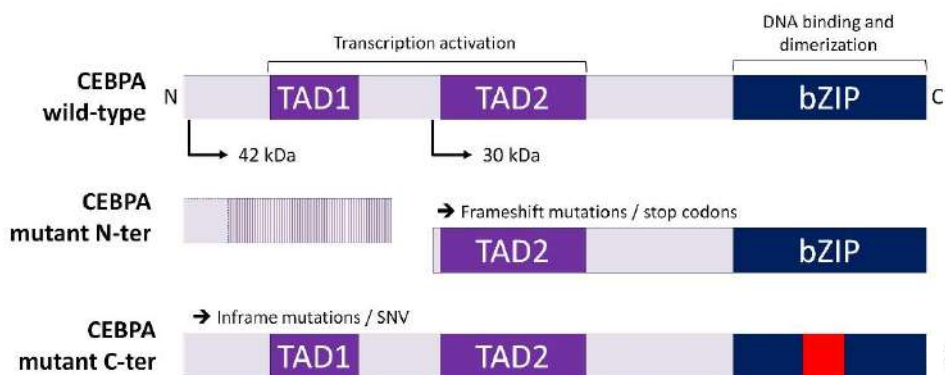


Mutated

Falini B, et al. NEJM. 2005;352(3):254–266.

## b) Mutations de *CEBPA*

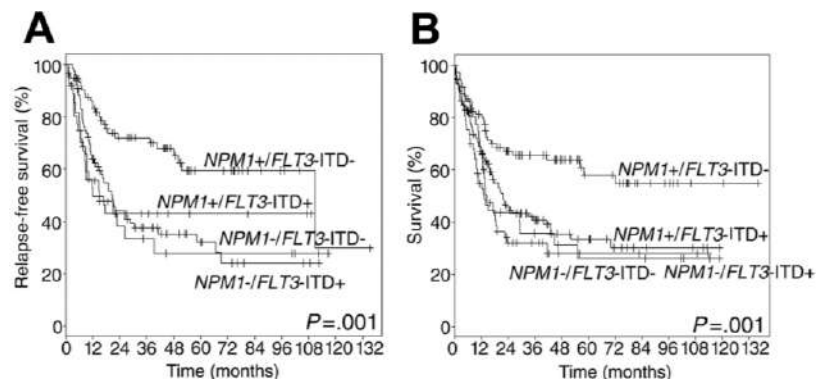
- ***CEBPA*** : facteur de transcription myéloïde (class II)
- ~ 5% des LAM de novo
  - Caryotype normal, FLT3-ITD négatif
  - Pronostic favorable restreint aux LAM avec **double mutation *CEBPA***



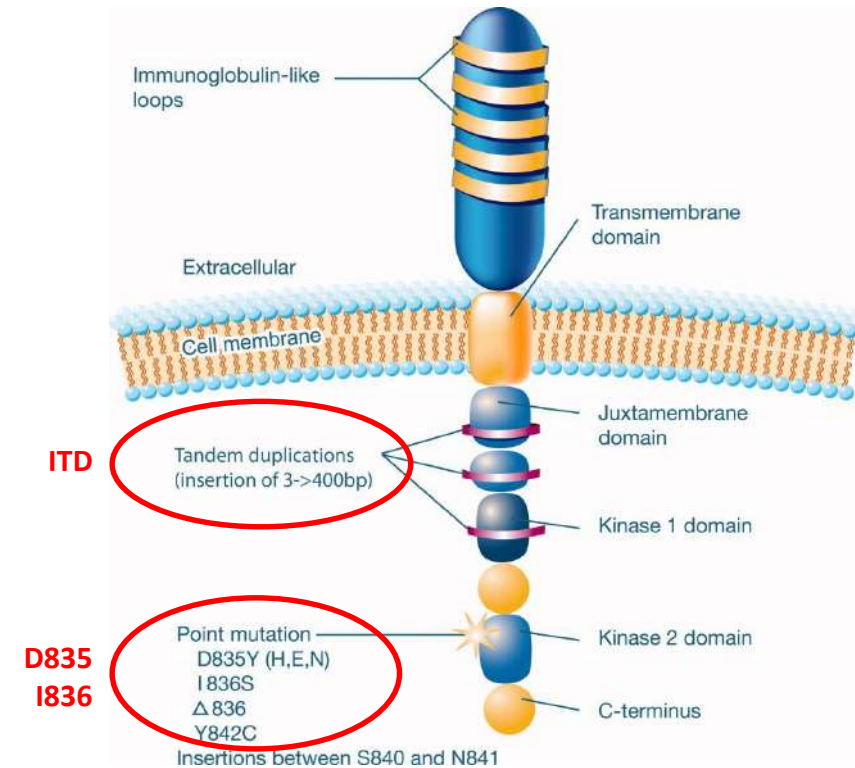
Pabst T, et al. Nature Genetics. 2001;27(3):263–270.  
Wouters BJ, et al. Blood. 2009;113(13):3088–3091.

### c) Mutations de *FLT3*

- **FLT3 : RTK (class I)**
- **~ 25-30% des LAM de novo**
  - Association +++ aux mutations de *NPM1*, *PML-RARA*, *CBF*
  - Pronostic défavorable de *FLT3-ITD*

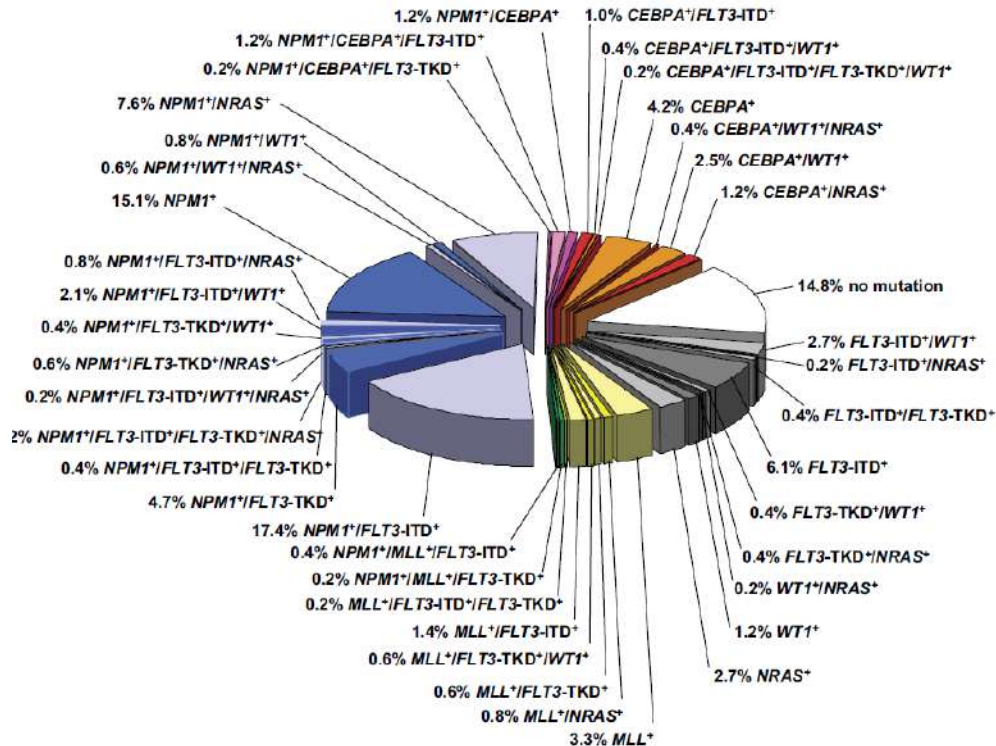


Döhner K, et al. Blood. 2005;106(12):3740–3746.



Nakao M, et al. Leukemia. 1996;10(12):1911–1918.

# Anomalies moléculaires des LAM à karyotype normal



**NPM1  
CEBPA  
FLT3  
MLL  
NRAS  
WT1**

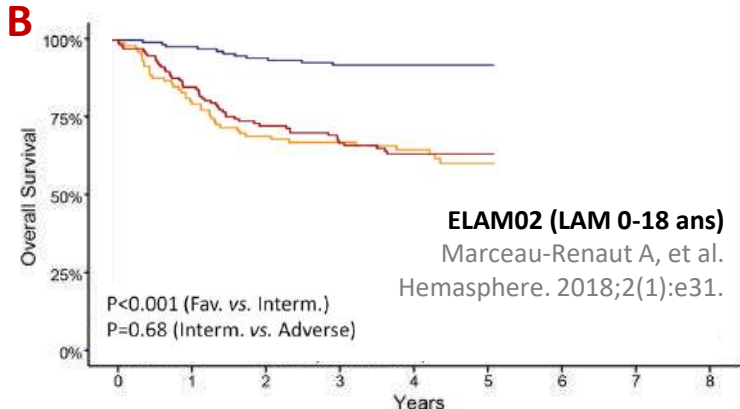
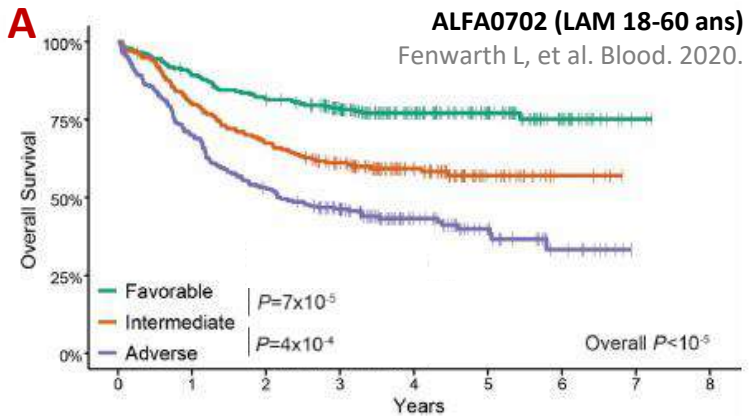
Pronostic

# Classification pronostique ELN 2017

Risk category*	Genetic abnormality
Favorable	<ul style="list-style-type: none"> <li>● t(8;21)(q22;q22.1); <i>RUNX1-RUNX1T1</i></li> <li>● inv(16)(p13.1q22) or t(16;16)(p13.1;q22); <i>CBFB-MYH11</i></li> <li>● Mutated <i>NPM1</i> without <i>FLT3-ITD</i> or with <i>FLT3-ITD</i><sup>low</sup>†</li> <li>● Biallelic mutated <i>CEBPA</i></li> </ul>
Intermediate	<ul style="list-style-type: none"> <li>● Mutated <i>NPM1</i> and <i>FLT3-ITD</i><sup>high</sup>†</li> <li>● Wild-type <i>NPM1</i> without <i>FLT3-ITD</i> or with <i>FLT3-ITD</i><sup>low</sup>† (without adverse-risk genetic lesions)</li> <li>● t(9;11)(p21.3;q23.3); <i>MLLT3-KMT2A</i>‡</li> <li>● Cytogenetic abnormalities not classified as favorable or adverse</li> </ul>
Adverse	<ul style="list-style-type: none"> <li>● t(6;9)(p23;q34.1); <i>DEK-NUP214</i></li> <li>● t(v;11q23.3); <i>KMT2A</i> rearranged</li> <li>● t(9;22)(q34.1;q11.2); <i>BCR-ABL1</i></li> <li>● inv(3)(q21.3q26.2) or t(3;3)(q21.3;q26.2); <i>GATA2</i>,<i>MECOM</i>(<i>EVI1</i>)</li> <li>● -5 or del(5q); -7; -17/abn(17p)</li> <li>● Complex karyotype,§ monosomal karyotypell</li> <li>● Wild-type <i>NPM1</i> and <i>FLT3-ITD</i><sup>high</sup>†</li> <li>● Mutated <i>RUNX1</i>¶</li> <li>● Mutated <i>ASXL1</i>¶</li> <li>● Mutated <i>TP53</i>#</li> </ul>

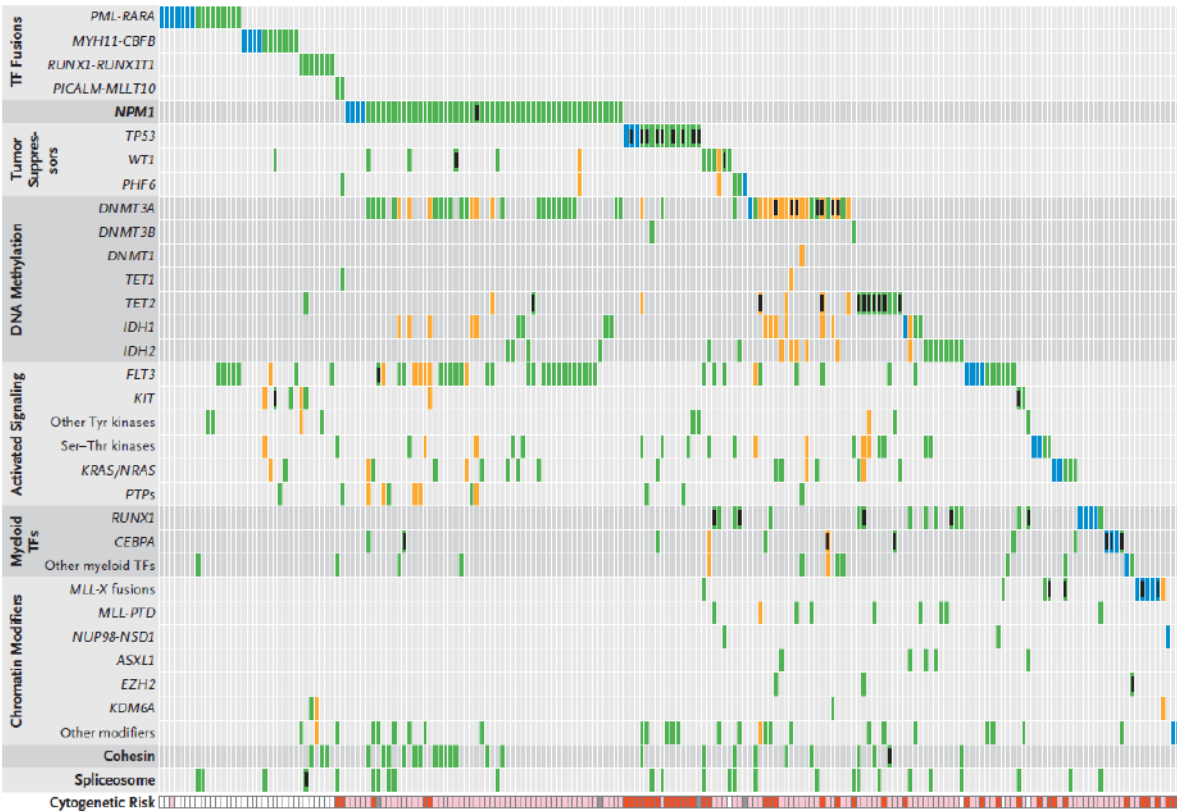
Döhner H, et al. Blood. 2017;129(4):424–447.

- CC only
- Mol. Only (standard/NGS)
- Mol. or CC



# IV – Paysage mutationnel et leucémogenèse

\* 1<sup>er</sup> génome de LAM publié en 2008 (Ley et al, NEJM)



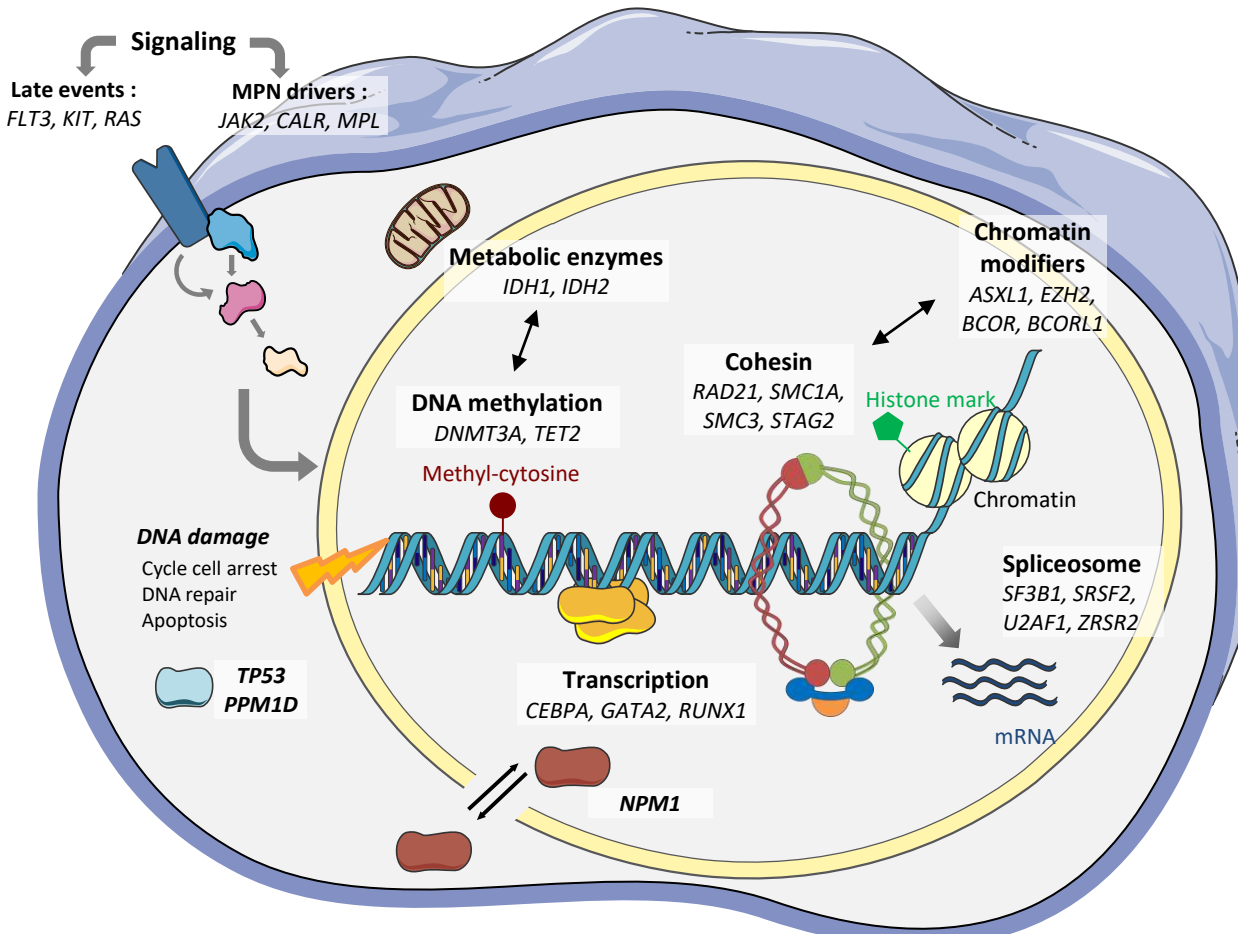
## Whole genome sequencing 200 LAM de novo

- 23 gène mutés de manière récurrente
- Mutations classes en **catégories fonctionnelles**  
→ Physiopathologie

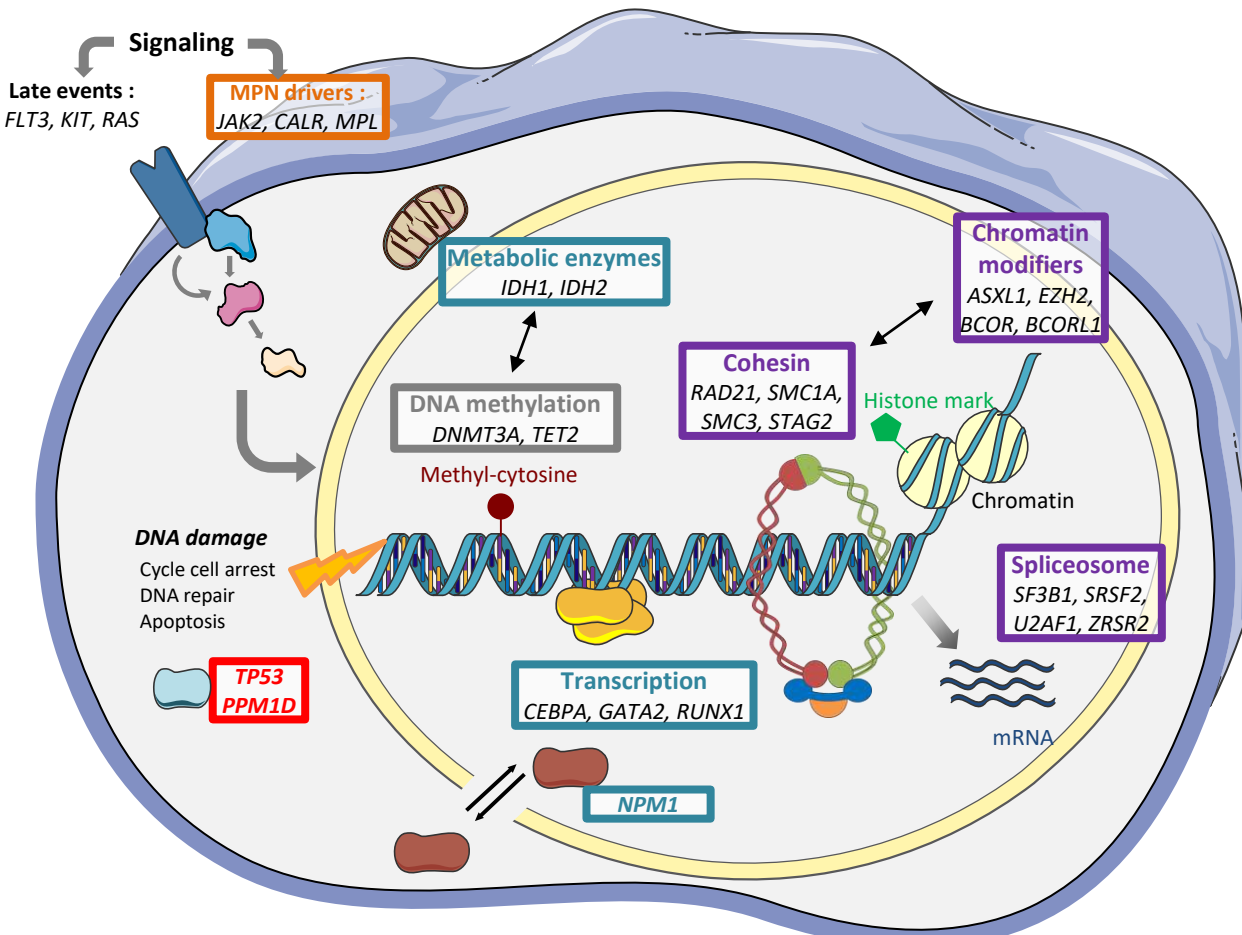


*The Cancer Genome Atlas  
Research Network. NEJM  
2013;368(22):2059–2074.*

## IV – Paysage mutationnel et leucémogenèse



# IV – Paysage mutationnel et leucémogenèse



## Potentiel leucémogène « fort »

- **Transcription** (mutations & fusions)
- **NPM1**
- **Metabolic enzyme**

## Potentiel leucémogène « modéré »

- **Chromatin modifiers**
- **Cohesin**
- **Spliceosome**

## Potentiel leucémogène « faible »

- **DNA methylation**

## Mutations voie TP53

## Mutations JAK2/CALR/MPL

# V – Ontogénétique des LAM

## LAM sans antécédent (*de novo* AML)

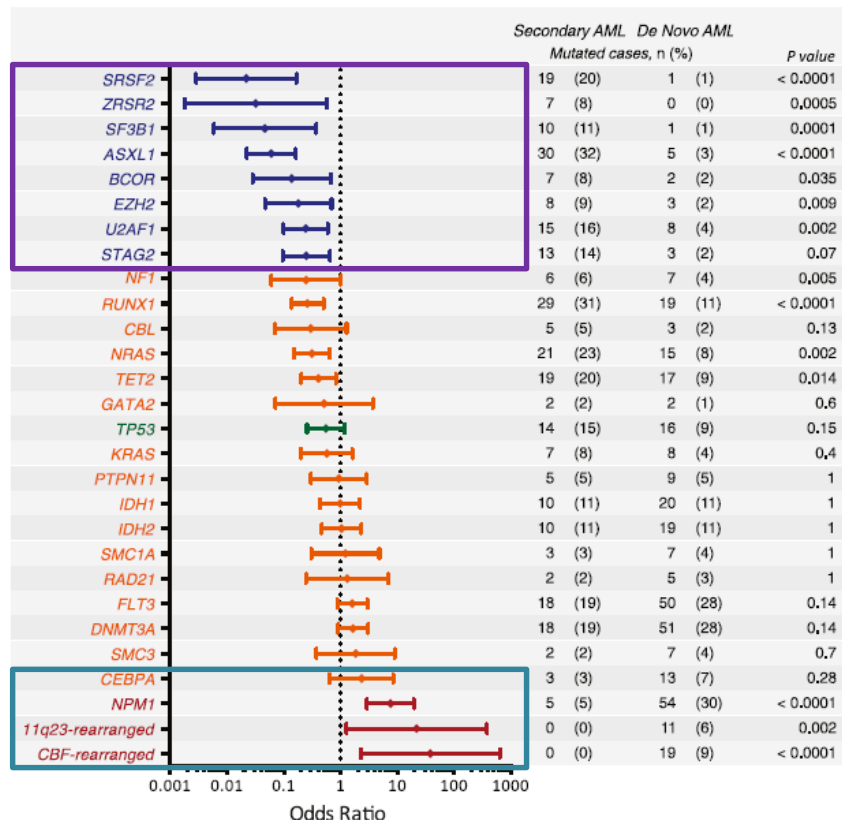
- Mutations **NPM1** et translocations **CBF** et **MLL**
- Plus fréquentes chez le sujet < 60 ans
- Meilleure **chimiosensibilité**

## LAM après une hémopathie myéloïde (secondary AML)

- Mutations **spliceosome /chromatin modifiers**
- Plus fréquentes chez le sujet > 60 ans
- Plus **mauvaise réponse** à la chimiothérapie

## LAM après chimiothérapie (therapy-related AML)

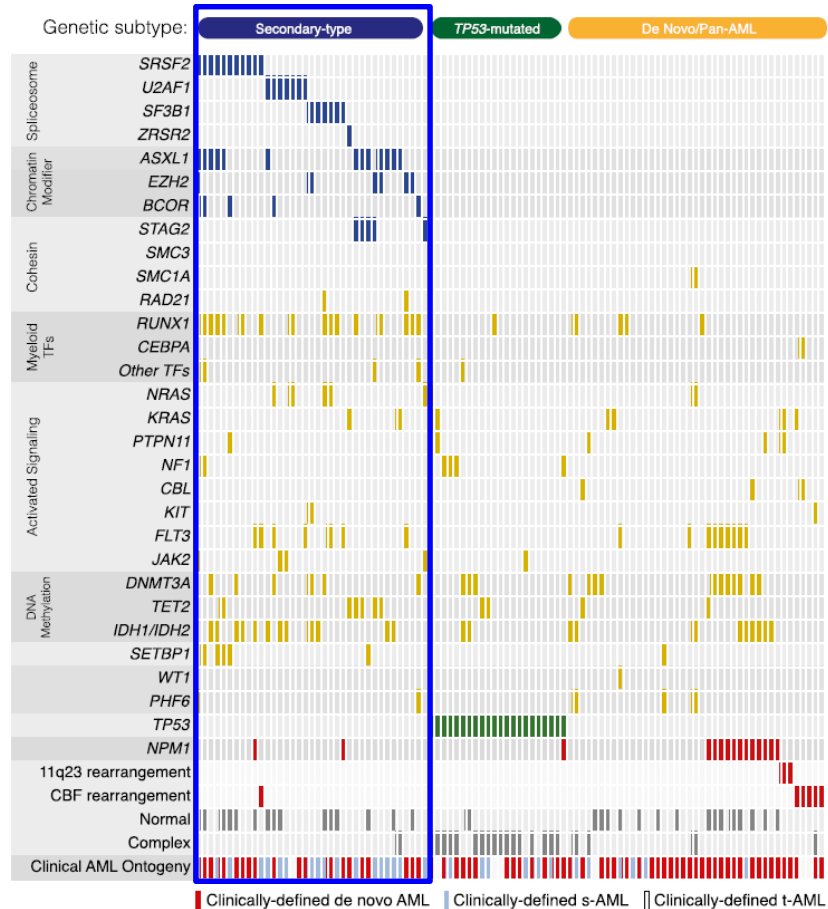
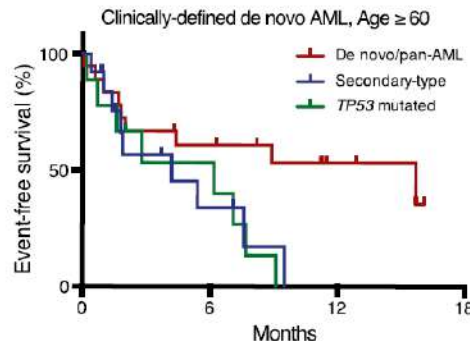
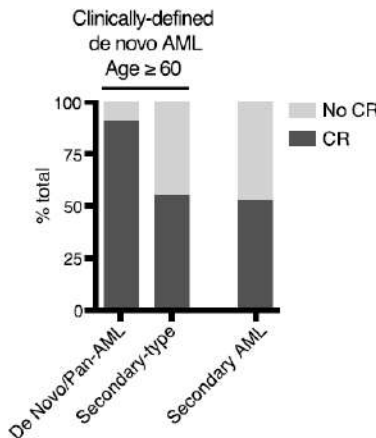
- Groupe très **hétérogène**
- Inhibiteurs de topo II → translocation CBF et MLL
- Alkykants → Mutations TP53, caryotype complexe



# V – Ontogénétique des LAM

## Cas des LAM de novo des sujets $\geq 60$ ans :

- ~ 35% ont des mutations « **secondary AML** » sans ATCD
- ~ 20% ont des mutations **TP53**



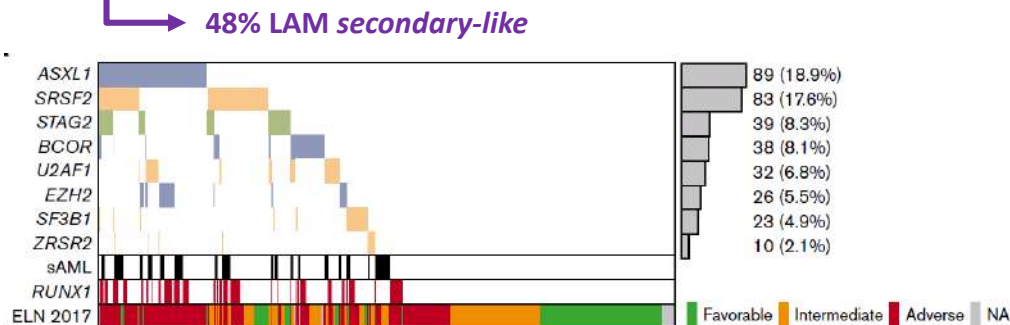
# Cohorte ALFA-1200

	All patients	Present†	Absent†	P†	Not tested
<b>Patients</b>	509	226	245	—	38
Sex, male/female	289/220	156/70	111/134	<.001	22/16
Median age (range), y	68 (60-85)	69 (60-85)	87 (60-80)	<.001	69 (61-83)
ECOG-PS 0/1/2+/na	219/219/66/5	99/91/34/2	106/109/27/3	.22	14/19/5/0
HCT-CI 0/1/2/3+/na	220/92/66/15/10	90/41/35/55/5	115/44/29/53/4	.51	21/7/2/7/1
Median WBC (range), $\times 10^9/L$	4.9 (0.25-547)	4.8 (0.25-547)	5.9 (0.48-358)	.43	2.9 (0.6-122)
WBC $\geq 50 \times 10^9/L$	80	31 (41)	45 (59)	.21	4
sAML‡	74	56 (82)	12 (16)	<.001	6
<b>ELN-2017 subgroups</b>				<.001	
Favorable	136	33 (25)	100 (75)	—	3
Intermediate	157	49 (38)	80 (62)	—	28
Adverse	200	141 (72)	54 (28)	—	5
Not classified	16	3 (21)	11 (79)	—	2

n = 509 patients > 60 ans  
Chimiothérapie intensive

14% LAM secondaires à SMD/LMMC

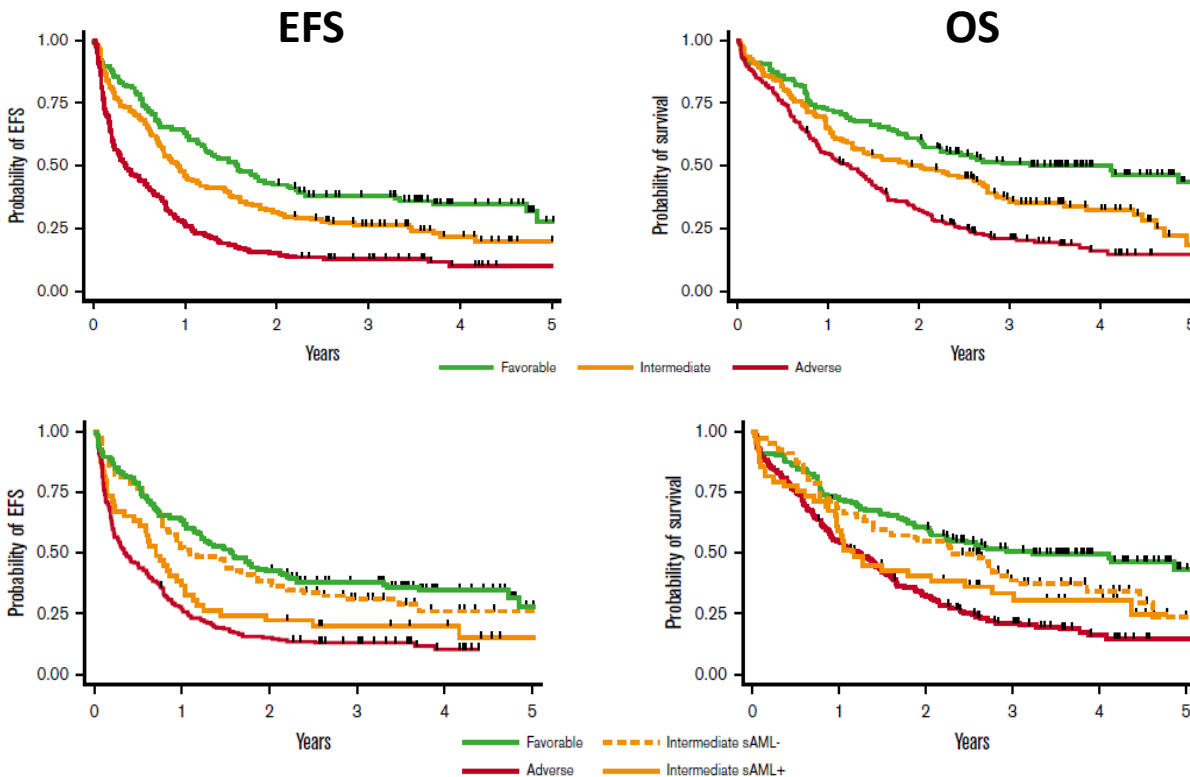
- ~ 30% ELN2017 favorables
- ~ 30% ELN2017 intermédiaires
- ~ 40% ELN2017 défavorables



# Cohorte ALFA-1200

ELN 2017

*Secondary-like  
classification*



# V – Ontogénétique des LAM

## LAM de novo ou « de novo-like »

Facteurs de transcription +++

→ Blocage de différenciation, instabilité génomique

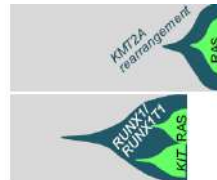
Potentiel leucémogène « fort »

Fusion de gènes :

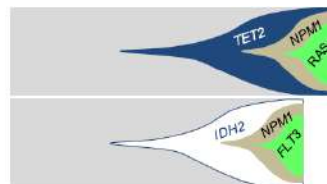
*RUNX1-RUNX1T1*

*PML-RARA*

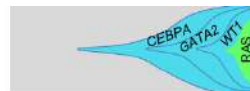
*MLL-AF9*



Mutations *NPM1*



Mutations *CEBPA*



Enfants, adultes jeunes +++

## LAM secondaire ou « secondaire-like »

Modif. chromatine, cohésine +++

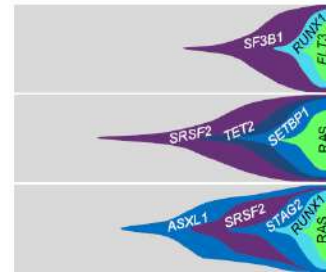
Epissage ARN +++

Potentiel leucémogène « modéré »

### LAM post-SMD

- Précédées ou non d'un SMD « clinique »

Adultes âgés +++



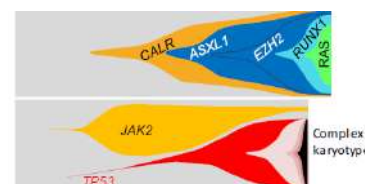
## LAM mutées *TP53*



**post-traitement +++**

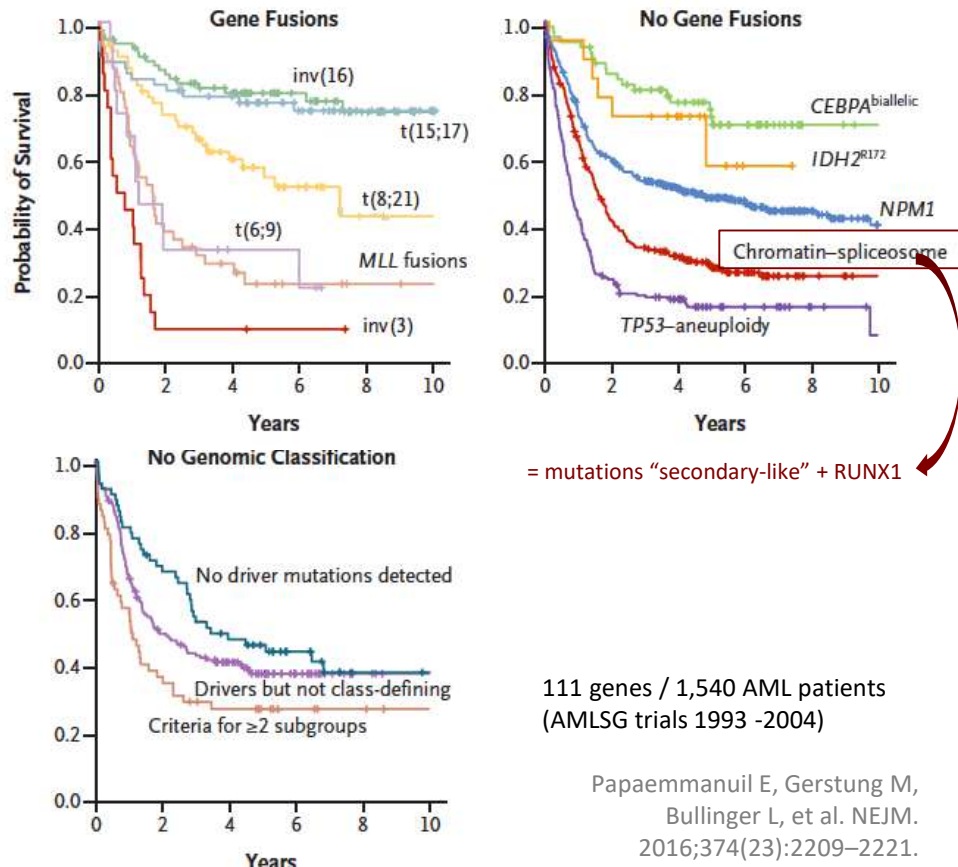
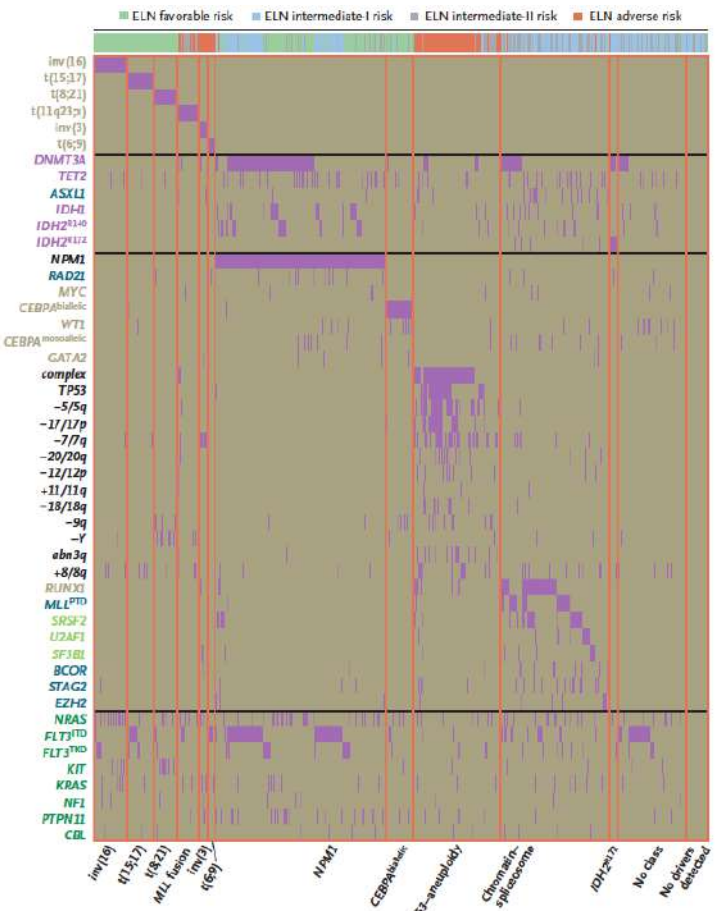
Caryotypes complexes +++

## LAM post-SMP



Mutations drivers : *JAK2/CALR*

# V – Au-delà des classifications moléculaires ...



111 genes / 1,540 AML patients  
(AMLSG trials 1993 -2004)

Papaemmanuil E, Gerstung M,  
Bullinger L, et al. NEJM.  
2016;374(23):2209–2221.

# V – Au-delà des classifications moléculaires ...

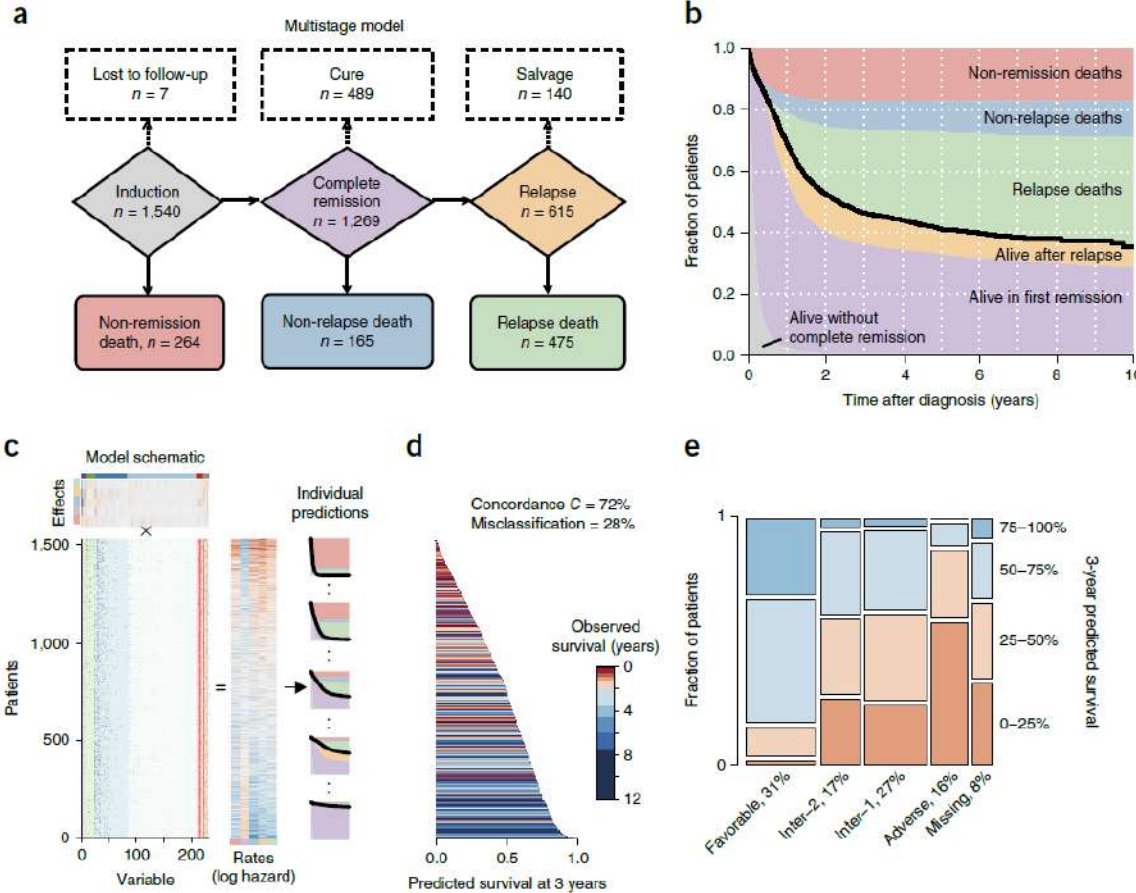
- **Knowledge-bank algorithm**
  - Données cliniques
  - Données cytogénétiques
  - Données moléculaires
  - Données thérapeutiques (HSCT)



~ 230 variables



Prédiction « personnalisée »



Gerstung M, Papaemmanuil E, Martincorena I, et al.  
Nature Genetics. 2017;49(3):332–340.

## V – Au-delà des classifications moléculaires ...

- **Knowledge-bank algorithm**
  - Données cliniques
  - Données cytogénétiques
  - Données moléculaires
  - Données thérapeutiques (HSCT)

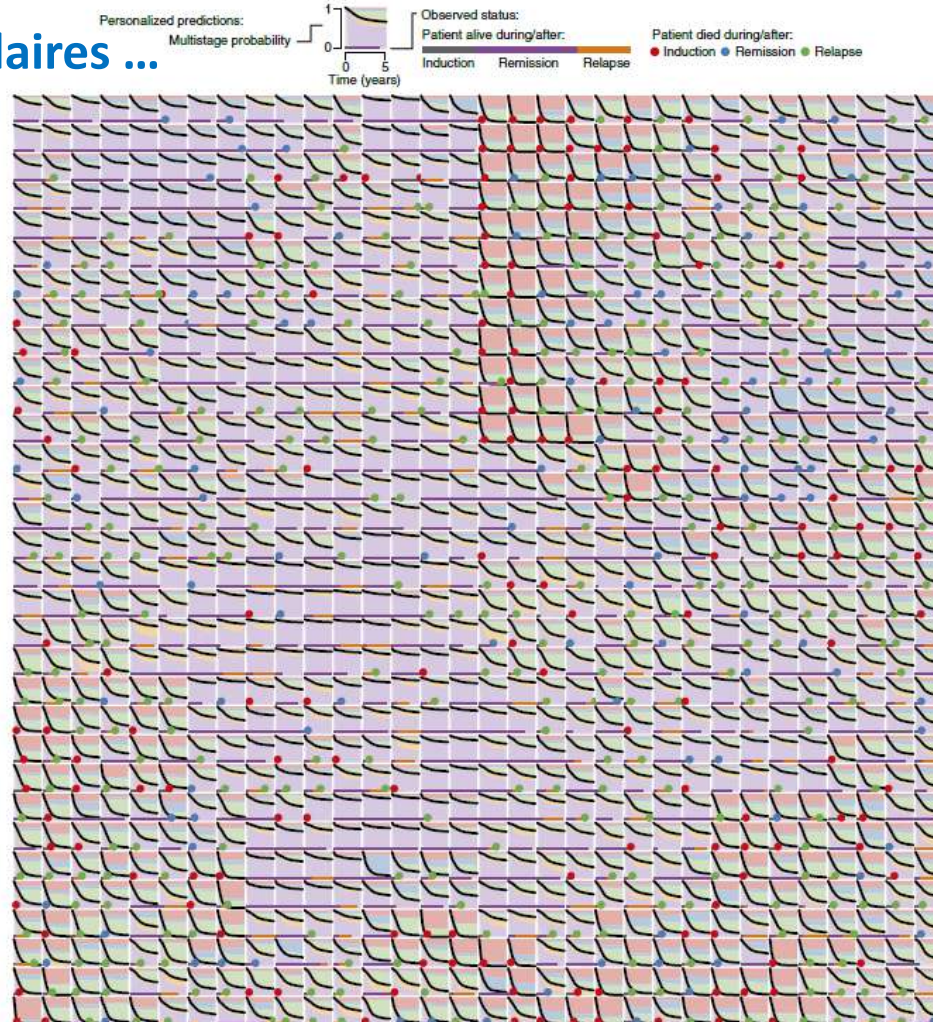


~ 230 variables

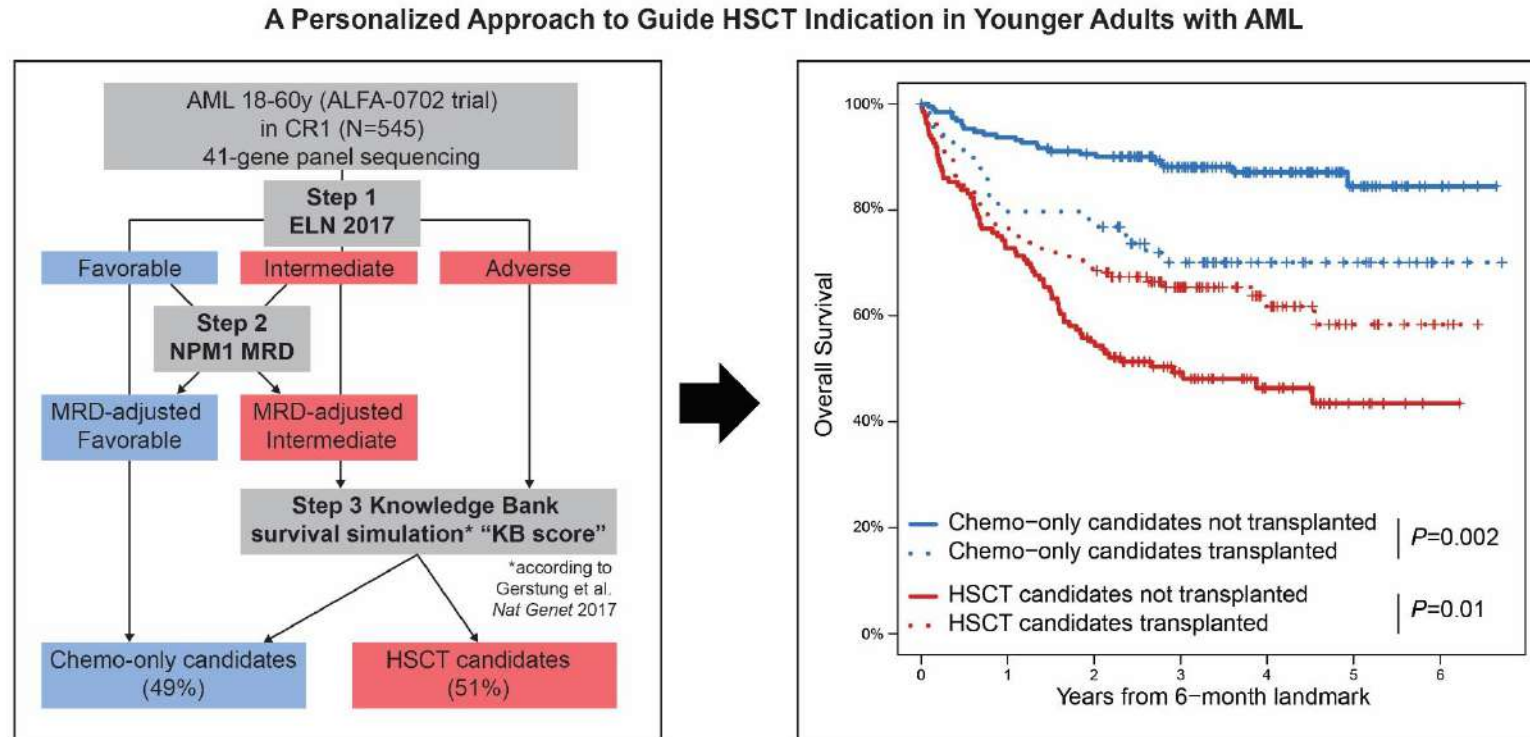


Prédiction « personnalisée »

Gerstung M, Papaemmanuil E, Martincorena I, et al.  
Nature Genetics. 2017;49(3):332–340.



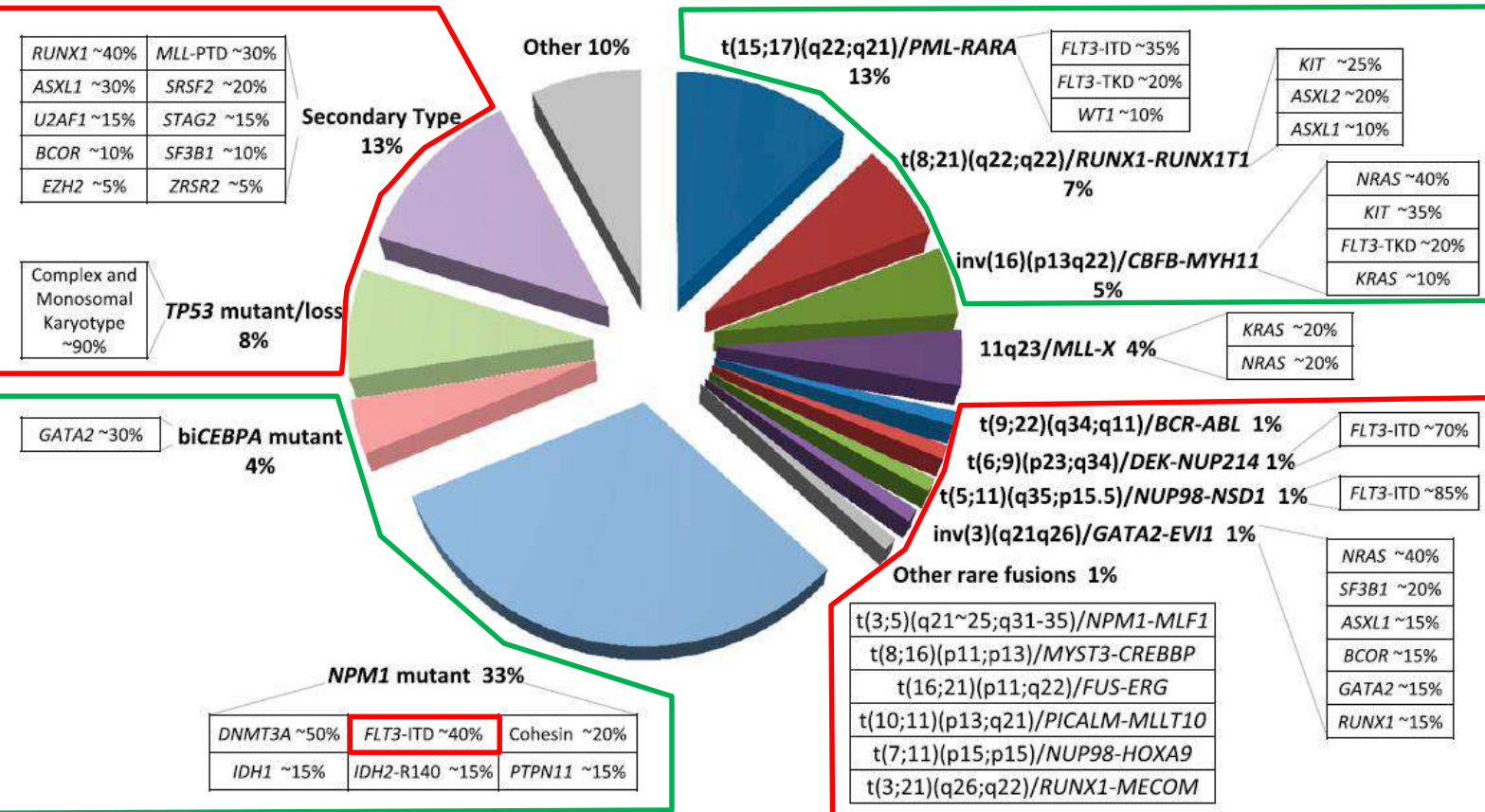
## V – Au-delà des classifications moléculaires ...



Fenwarth L., Thomas X., de Botton S., Duployez N., Bourhis J.-H., Lesieur A., Fortin G., Meslin P.-A., Yakoub-Agha I., Sujobert P., Dumas P.-Y., Recher C., Lebon D., Berthon C., Michallet M., Pigneux A., Nguyen S., Chantepie S., Vey V., Raffoux E., Celli-Lebras K., Gardin C., Lambert J., Malfuson J.-V., Caillot D., Maury S., Ducourneau B., Turlure P., Lemasse E., Pautas C., Chevret S., Terré C., Boissel N., Socié G., Dombret H., Preudhomme C., Itzykson R. **Blood.** 2020.

# Conclusion : classification des LAM

P  
O  
O  
R



G  
O  
O  
D

P  
O  
O  
R

